



UNIVERSITÄTS-  
BIBLIOTHEK  
PADERBORN

## **Die Statik im Stahlbetonbau**

**Beyer, Kurt**

**Berlin [u.a.], 1956**

42. Symmetrie des Tragwerks

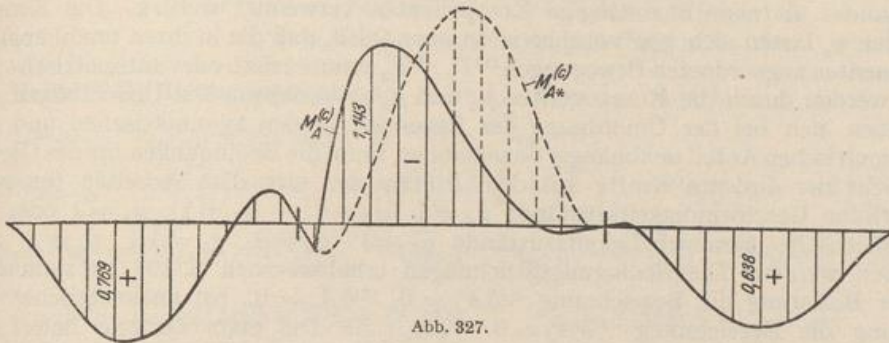
---

[urn:nbn:de:hbz:466:1-74292](https://nbn-resolving.org/urn:nbn:de:hbz:466:1-74292)

und mit einer einfachen Umrechnung zu

$$\begin{aligned} M_{A0}^{(c)} &= \frac{c_3}{l^2} \eta_1 - \frac{c_1}{l} \eta_2' - \frac{c_2}{l} \eta_2 \\ &= 0,062858 \eta_1 - 0,379051 \eta_2' + 0,144567 \eta_2. \end{aligned}$$

Die Ordinaten der Einflußlinie  $M_A^{(c)}$  sind in Abb. 327 aufgetragen.



## 42. Symmetrie des Tragwerks.

Die geometrischen und elastischen Eigenschaften zahlreicher Tragwerke können auf Symmetrieachsen bezogen werden, so daß symmetrische Kraftwirkungen auch symmetrische Verschiebungszustände, antimetrische Kraftwirkungen antimetrische Verschiebungszustände erzeugen. Die Anzahl der unbekannteren unabhängigen Komponenten ist dann wesentlich kleiner, so daß die Rechnung vereinfacht und abgekürzt wird (Abschn. 27).

Die symmetrisch zugeordneten Knoten- und Stabdrehwinkel sind bei Antimetrie der Belastung gleich groß, bei Symmetrie entgegengesetzt gleich. Die Symmetriepunkte des Tragwerks erfahren bei Antimetrie der Belastung keine Verschiebung in Richtung der Symmetrieachse, während bei Symmetrie der Belastung nicht nur die Knotendrehwinkel und die waagerechten Verschiebungen der Querschnitte der Symmetrieachse Null sind, sondern auch die Drehwinkel derjenigen Stäbe, welche die Symmetrieachse unter  $90^\circ$  schneiden oder mit ihr zusammenfallen. Sind die Längenänderungen der Stäbe Null, so gilt das gleiche oft auch von allen anderen Stabdrehwinkeln. Das geometrische Bild ist daher bei Symmetrie der Belastung durch eine kleinere Anzahl von unbekannteren Komponenten bestimmt als bei Antimetrie. Für den Spannungszustand gilt das Gegenteil, so daß die Untersuchung je nach der Belastungsform mit der Berechnung der unabhängigen Verschiebungen  $\varphi_j$ ,  $\psi_c$  oder der statisch unbestimmten Schnittkräfte eingeleitet werden kann.

Eine beliebige Belastung darf nach dem Superpositionsgesetz in zwei oder vier Anteile zerlegt werden, wenn eine oder mehrere Symmetrieachsen vorhanden sind. Jeder Anteil ist zu den Achsen symmetrisch oder antimetrisch, so daß die Verschiebungszustände aus der Spiegelung eines Teilbildes entwickelt werden können. In diesem Falle genügt die Berechnung der unabhängigen Komponenten dieses Abschnittes. Damit ist ein Weg zur vereinfachten Anwendung der Ansätze  $\delta A_j = 0$ ,  $\delta A_c = 0$  gezeigt worden.

Die Symmetrie des Tragwerks zu einer oder mehreren Achsen kann bei Umordnung der vorgeschriebenen Belastung zur Bildung von Gruppen unabhängiger, geometrisch zugeordneter Komponenten des Verschiebungszustandes ebenso verwendet werden, wie dies in Abschnitt 28 für statisch unbestimmte Schnittkräfte angegeben worden ist. Der Ansatz entsteht auch hier durch Addition und Subtraktion symmetrisch zugeordneter Bedingungsgleichungen unter Einführung neuer Unbekannter.



Sind in einem Tragwerk mit einer Symmetrieachse die Knotendrehwinkel  $\varphi_J, \chi_J$  symmetrisch zugeordnet, so lassen sich diese zu Gruppenbewegungen

$$\mu_J = \frac{\varphi_J - \chi_J}{2}, \quad \varrho_J = \frac{\varphi_J + \chi_J}{2} \tag{588}$$

zusammenfassen, die bei der Entwicklung des Spannungs- und Verschiebungszustandes als neue unabhängige Komponenten verwendet werden. Die Komponenten  $\psi_c$  lassen sich von vornherein so auswählen, daß die in ihren unabhängigen Elementen zugeordneten Bewegungen  ${}^{(1)}\Gamma_c, {}^{(2)}\Gamma_c$  symmetrisch oder antisymmetrisch sind. Sie werden durch die Komponenten  $\mu_c$  und  $\varrho_c$  beschrieben. Die Überzähligen  $\mu, \varrho$  ergeben sich bei der Umordnung der Belastung in den symmetrischen und den antisymmetrischen Anteil unabhängig voneinander, wenn die Bedingungen für das Gleichgewicht der äußeren Kräfte mit dem Prinzip der virtuellen Arbeiten für symmetrische Geschwindigkeitszustände  $\dot{\mu}_J = 1$  ( $\dot{\varphi}_J = 1, -\dot{\chi}_J = 1$ ),  $\dot{\mu}_c = 1$  oder für antisymmetrische Geschwindigkeitszustände  $\dot{\varrho}_J = 1$  ( $\dot{\varphi}_J = 1, \dot{\chi}_J = 1$ ),  $\dot{\varrho}_c = 1$  entwickelt werden. Die Bedingungsgleichungen erhalten nach S. 194 bei symmetrischer Belastung die Bezeichnung  ${}^{(1)}\delta A_J = 0, {}^{(1)}\delta A_c = 0$ , bei antisymmetrischer Belastung die Bezeichnung  ${}^{(2)}\delta A_J = 0, {}^{(2)}\delta A_c = 0$ . Die erste Gruppe liefert die Überzähligen  $\mu_J, \mu_c$  infolge symmetrischer Belastung, die zweite Gruppe die Überzähligen  $\varrho_J, \varrho_c$  infolge antisymmetrischer Belastung. Die Lösung zerfällt daher in zwei voneinander unabhängige Teile. Bei Symmetrie der Belastung ist

$$\mu_J = {}^{(1)}\varphi_J = -{}^{(1)}\chi_J, \tag{589}$$

bei Antimetrie der Belastung

$$\varrho_J = {}^{(2)}\varphi_J = {}^{(2)}\chi_J. \tag{590}$$

Schließlich wird ebenso wie auf S. 195

$$\varphi_J = {}^{(1)}\varphi_J + {}^{(2)}\varphi_J = \mu_J + \varrho_J, \quad \chi_J = {}^{(1)}\chi_J + {}^{(2)}\chi_J = -\mu_J + \varrho_J. \tag{591}$$

Die Rechenvorschrift stimmt nach Ansatz und Lösung mit Abschnitt 28 überein und kann bei Symmetrie des Tragwerks nach zwei Achsen ebenso wie dort erweitert werden. Selbstverständlich besteht auch die Möglichkeit, durch eine algebraische Transformation der unabhängigen Komponenten des Verschiebungszustandes allgemeine Gruppenbewegungen nach Abschnitt 36 zu bilden, die unabhängig voneinander berechnet werden. Die Transformation wird dabei derart festgesetzt, daß die virtuellen Arbeiten  $a_{JK}, a_{Jc}, a_{bc}$  Null sind.

**Symmetrischer Stockwerkrahmen mit zwei Pfosten.** Symmetrisch zugeordnete Knotendrehwinkel  $\varphi_J, \chi_J$ ; symmetrisch zugeordnete Stabdrehwinkel  $\vartheta_i, \nu_i$  (Abb. 328).

Belastung von Pfosten und Riegel; Umordnung der Belastung in den symmetrischen und den antisymmetrischen Anteil:

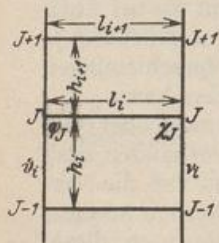


Abb. 328.

$$\left. \begin{aligned} \mu_J &= \frac{\varphi_J - \chi_J}{2}, & \mu_i &= \frac{\vartheta_i - \nu_i}{2} = 0, \\ \varrho_J &= \frac{\varphi_J + \chi_J}{2}, & \varrho_i &= \frac{\vartheta_i + \nu_i}{2} = \psi_i. \end{aligned} \right\} \tag{592}$$

Symmetrischer Anteil:

$$\varrho_J = 0; \quad \mu_J = {}^{(1)}\varphi_J = -{}^{(1)}\chi_J \neq 0, \quad \psi_i = {}^{(1)}\vartheta_i = {}^{(1)}\nu_i = 0.$$

Statische Bedingung: Kette  ${}^{(1)}\Gamma_J$ , Bewegungszustand  $\dot{\mu}_J = 1$ :  $\dot{\varphi}_J = 1, -\dot{\chi}_J = 1$ .

$${}^{(1)}\delta A_J = \mu_{J-1} {}^{(1)}a_{J(J-1)} + \mu_J {}^{(1)}a_{JJ} + \mu_{J+1} {}^{(1)}a_{J(J+1)} + {}^{(1)}a_{J0} = 0, \tag{593}$$

$${}^{(1)}a_{J(J-1)} = -2\left(\frac{2}{h_i'}\right), \quad {}^{(1)}a_{JJ} = -2\left(\frac{2}{l_i'} + \frac{4}{h_i'} + \frac{4}{h_{i+1}'}\right), \quad {}^{(1)}a_{J(J+1)} = -2\left(\frac{2}{h_{i+1}'}\right),$$

$${}^{(1)}a_{J0} = -2(M_{J0}^{(1)} + M_{J0}^{(2)} + M_{J0}^{(3)}).$$



Antimetrischer Anteil:

$$\mu_J = 0, \quad \rho_J = {}^{(2)}\varphi_J = {}^{(2)}\chi_J \neq 0, \quad \psi_i = {}^{(2)}\vartheta_i = {}^{(2)}\nu_i \neq 0.$$

Statische Bedingungen: Kette  ${}^{(2)}\Gamma_J$ , Bewegungszustand  $\rho_J = 1$ :  $\dot{\varphi}_J = 1, \dot{\chi}_J = 1$ .

$$\left. \begin{aligned} {}^{(2)}\delta A_J &= \rho_{J-1} {}^{(2)}a_{J(J-1)} + \rho_J {}^{(2)}a_{JJ} + \rho_{J+1} {}^{(2)}a_{J(J+1)} \\ &+ \psi_i {}^{(2)}a_{Ji} + \psi_{i+1} {}^{(2)}a_{J(i+1)} + {}^{(2)}a_{J0} = 0. \end{aligned} \right\} \quad (594)$$

Kette  ${}^{(2)}\Gamma_i$ , Bewegungszustand:  $\dot{\psi}_i = 1, \dot{\vartheta}_i = 1, \dot{\nu}_i = 1$ .

$${}^{(2)}\delta A_i = \rho_{J-1} {}^{(2)}a_{i(J-1)} + \rho_J {}^{(2)}a_{iJ} + \psi_i {}^{(2)}a_{ii} + {}^{(2)}a_{i0} = 0, \quad (595)$$

$${}^{(2)}a_{J(J-1)} = -2 \left( \frac{2}{h'_i} \right), \quad {}^{(2)}a_{JJ} = -2 \left( \frac{6}{h'_i} + \frac{4}{h'_i} + \frac{4}{h'_{i+1}} \right), \quad {}^{(2)}a_{J(J+1)} = -2 \left( \frac{2}{h'_{i+1}} \right),$$

$${}^{(2)}a_{Ji} = {}^{(2)}a_{iJ} = {}^{(2)}a_{i(J-1)} = 2 \left( \frac{6}{h'_i} \right), \quad {}^{(2)}a_{J(i+1)} = {}^{(2)}a_{(i+1)J} = 2 \left( \frac{6}{h'_{i+1}} \right), \quad {}^{(2)}a_{ii} = -2 \left( \frac{12}{h'_i} \right),$$

$${}^{(2)}a_{J0} = -2(M_{J0}^{(i)} + M_{J0}^{(i)} + M_{J0}^{(i-1)}), \quad {}^{(2)}a_{i0} = 2(M_0^{(i)} + h_i \sum^N W_K).$$

(Die Indizes  $(i), (i+1)$  bezeichnen die Pfosten, der Index  $N$  den obersten Riegel.)

Die Gl. (593) zur Berechnung der Gruppenverschiebungen  $\mu_J$  sind dreigliedrig. Die Gl. (594) mit den Unbekannten  $\rho_J$  erhalten nach Substitution der unbekanntenen Komponenten  $\psi_i$  aus den Ansätzen (595) für  ${}^{(2)}\delta A_i = 0$  dieselbe Form. Sie werden nach Abschnitt 29 aufgelöst. Die Ergebnisse dienen zunächst zur Berechnung von  $\psi_i$ , so daß sich die Anschlußmomente für den symmetrischen und für den antimetrischen Belastungsanteil und daraus diejenigen für die vorgeschriebene Belastung angeben lassen.

**Symmetrischer Stockwerkrahmen mit vier Pfosten.** Symmetrisch zugeordnete Knotendrehwinkel  $\varphi_J, \chi_J$  und  $\varphi_K, \chi_K$ , symmetrisch zugeordnete Stabdrehwinkel  $\vartheta_i = \vartheta_k$  und  $\nu_i = \nu_k$  (Abb. 329).

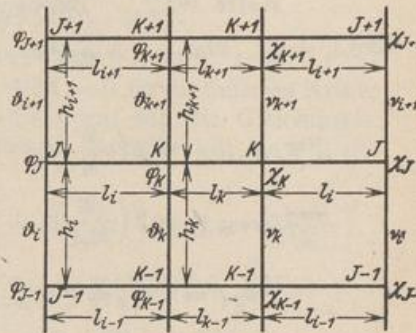


Abb. 329.

Belastung der äußeren Pfosten und der Riegel;  
Umordnung der Belastung in den symmetrischen und den antimetrischen Anteil.

$$\left. \begin{aligned} \mu_J &= \frac{\varphi_J - \chi_J}{2}, & \mu_K &= \frac{\varphi_K - \chi_K}{2}, & \mu_i &= \frac{\vartheta_i - \nu_i}{2} = 0, \\ \rho_J &= \frac{\varphi_J + \chi_J}{2}, & \rho_K &= \frac{\varphi_K + \chi_K}{2}, & \rho_i &= \frac{\vartheta_i + \nu_i}{2} = \psi_i. \end{aligned} \right\} \quad (596)$$

Symmetrischer Anteil:  $\rho_J = 0, \quad \mu_J = {}^{(1)}\varphi_J = -{}^{(1)}\chi_J \neq 0;$

$$\rho_K = 0, \quad \mu_K = {}^{(1)}\varphi_K = -{}^{(1)}\chi_K \neq 0; \quad \psi_i = {}^{(1)}\vartheta_i = {}^{(1)}\nu_i = 0.$$

Statische Bedingungen: Kette  ${}^{(1)}\Gamma_J$ , Bewegungszustand  $\rho_J = 1$ :  $\dot{\varphi}_J = 1, -\dot{\chi}_J = 1$ .

$$\left. \begin{aligned} {}^{(1)}\delta A_J &= \mu_{J-1} {}^{(1)}a_{J(J-1)} + \mu_J {}^{(1)}a_{JJ} + \mu_{J+1} {}^{(1)}a_{J(J+1)} \\ &+ \mu_K {}^{(1)}a_{JK} + {}^{(1)}a_{J0} = 0. \end{aligned} \right\} \quad (597)$$

Kette  ${}^{(1)}\Gamma_K$ , Bewegungszustand  $\rho_K = 1$ :  $\dot{\varphi}_K = 1, -\dot{\chi}_K = 1$ ,

$$\left. \begin{aligned} {}^{(1)}\delta A_K &= \mu_J {}^{(1)}a_{KJ} + \mu_{K-1} {}^{(1)}a_{K(K-1)} + \rho_K {}^{(1)}a_{KK} \\ &+ \mu_{K+1} {}^{(1)}a_{K(K+1)} + {}^{(1)}a_{K0} = 0, \end{aligned} \right\} \quad (598)$$



$$\begin{aligned} {}^{(1)}a_{JJ} &= -2 \left( \frac{4}{h'_i} + \frac{4}{h'_i} + \frac{4}{h'_{i+1}} \right), & {}^{(1)}a_{KK} &= -2 \left( \frac{2}{h'_k} + \frac{4}{h'_k} + \frac{4}{h'_k} + \frac{4}{h'_{k+1}} \right), \\ {}^{(1)}a_{JK} &= -2 \left( \frac{2}{h'_i} \right), & {}^{(1)}a_{J0} &= -2 (M_{J0}^{(i)} + M_{J0}^{(\bar{i})} + M_{J0}^{(\bar{i}+1)}), \\ a_{K0}^{(1)} &= -2 (M_{K0}^{(i)} + M_{K0}^{(k)} + M_{K0}^{(\bar{k})} + M_{K0}^{(\bar{k}+1)}). \end{aligned}$$

Die übrigen Vorzahlen erhalten denselben Betrag wie beim Stockwerkrahmen mit zwei Pfosten.

$$\text{Antimetrischer Anteil: } \mu_J = 0, \quad \varrho_J = {}^{(2)}\varphi_J = {}^{(2)}\chi_J \neq 0;$$

$$\mu_K = 0, \quad \varrho_K = {}^{(2)}\varphi_K = {}^{(2)}\chi_K \neq 0; \quad \psi_i = {}^{(2)}\vartheta_i = {}^{(2)}\nu_i \neq 0.$$

Statische Bedingungen: Kette  ${}^{(2)}\Gamma_J$ , Bewegungszustand  $\dot{\varrho}_J = 1$ :  $\dot{\varphi}_J = 1$ ,  $\dot{\chi}_J = 1$ .

$$\left. \begin{aligned} {}^{(2)}\delta A_J &= \varrho_{J-1} {}^{(2)}a_{J(J-1)} + \varrho_J {}^{(2)}a_{JJ} + \varrho_{J+1} {}^{(2)}a_{J(J+1)} + \varrho_K {}^{(2)}a_{JK} \\ &\quad + \psi_i {}^{(2)}a_{Ji} + \psi_{i+1} {}^{(2)}a_{J(i+1)} + {}^{(2)}a_{J0} = 0, \end{aligned} \right\} (599)$$

Kette  ${}^{(2)}\Gamma_K$ , Bewegungszustand  $\dot{\varrho}_K = 1$ ,  $\dot{\varphi}_K = 1$ ,  $\dot{\chi}_K = 1$ ,

$$\left. \begin{aligned} {}^{(2)}\delta A_K &= \varrho_J {}^{(2)}a_{KJ} + \varrho_{K-1} {}^{(2)}a_{K(K-1)} + \varrho_K {}^{(2)}a_{KK} + \varrho_{K+1} {}^{(2)}a_{K(K+1)} \\ &\quad + \psi_i {}^{(2)}a_{Ki} + \psi_{i+1} {}^{(2)}a_{K(i+1)} + {}^{(2)}a_{K0} = 0, \end{aligned} \right\} (600)$$

Kette  ${}^{(2)}\Gamma_i$ , Bewegungszustand  $\dot{\psi}_i = 1$ :  $\dot{\vartheta}_i = 1$ ,  $\dot{\nu}_i = 1$ .

$$\left. \begin{aligned} {}^{(2)}\delta A_i &= \varrho_{J-1} {}^{(2)}a_{i(J-1)} + \varrho_J {}^{(2)}a_{iJ} + \varrho_{K-1} {}^{(2)}a_{i(K-1)} + \varrho_K {}^{(2)}a_{iK} \\ &\quad + \psi_i {}^{(2)}a_{ii} + {}^{(2)}a_{i0} = 0, \end{aligned} \right\} (601)$$

$${}^{(2)}a_{J(J-1)} = -2 \left( \frac{2}{h'_i} \right), \quad {}^{(2)}a_{JJ} = -2 \left( \frac{4}{h'_i} + \frac{4}{h'_i} + \frac{4}{h'_{i+1}} \right),$$

$${}^{(2)}a_{J(J+1)} = -2 \left( \frac{2}{h'_{i+1}} \right), \quad {}^{(2)}a_{JK} = {}^{(2)}a_{KJ} = -2 \left( \frac{2}{h'_i} \right),$$

$${}^{(2)}a_{Ji} = {}^{(2)}a_{iJ} = {}^{(2)}a_{i(J-1)} = 2 \left( \frac{6}{h'_i} \right), \quad {}^{(2)}a_{J(i+1)} = 2 \left( \frac{6}{h'_{i+1}} \right),$$

$${}^{(2)}a_{J0} = -2 (M_{J0}^{(i)} + M_{J0}^{(\bar{i})} + M_{J0}^{(\bar{i}+1)}), \quad {}^{(2)}a_{K(K-1)} = -2 \left( \frac{2}{h'_k} \right),$$

$${}^{(2)}a_{KK} = -2 \left( \frac{4}{h'_k} + \frac{4}{h'_k} + \frac{4}{h'_{k+1}} + \frac{6}{h'_k} \right), \quad {}^{(2)}a_{K(K+1)} = -2 \left( \frac{2}{h'_{k+1}} \right),$$

$${}^{(2)}a_{Ki} = {}^{(2)}a_{iK} = {}^{(2)}a_{i(K-1)} = 2 \left( \frac{6}{h'_k} \right), \quad {}^{(2)}a_{K(i+1)} = 2 \left( \frac{6}{h'_{k+1}} \right),$$

$${}^{(2)}a_{K0} = -2 (M_{K0}^{(i)} + M_{K0}^{(k)}), \quad {}^{(2)}a_{ii} = -2 \left( \frac{12}{h'_i} + \frac{12}{h'_k} \right),$$

$${}^{(2)}a_{i0} = 2 (M_0^{(i)} + h_i \sum_J^N W_K).$$

(Die Indizes  $(\bar{i})$   $(\bar{i}+1)$  bezeichnen die Pfosten, der Index  $N$  den obersten Riegel.)

Die Gleichungen (601) werden zur Substitution der unabhängigen Komponenten  $\psi_i, \psi_{i+1}$  in den Gleichungen (599) und (600) verwendet. Diese enthalten dann dieselben sechs Gruppenverschiebungen  $\varrho_{J-1} \dots \varrho_{K+1}$ . Der antimetrische Teil des Ansatzes besteht also aus sechsgliedrigen Bedingungsgleichungen. Die Gleichungen (597), (598) des symmetrischen Teils verknüpfen vier unbekannte Gruppenverschiebungen  $\mu$ .



**Symmetrischer Stockwerkrahmen mit drei Pfosten.** Symmetrisch zugeordnete Knotendrehwinkel  $\varphi_J, \chi_J$ , symmetrisch zugeordnete Stabdrehwinkel  $\vartheta_i, \nu_i$  (Abb. 330).

Belastung der äußeren Pfosten und der Riegel. Umordnung der Belastung in den symmetrischen und den antisymmetrischen Anteil.

$$\left. \begin{aligned} \mu_J &= \frac{\varphi_J - \chi_J}{2}, & \mu_K &= 0, \\ \varrho_J &= \frac{\varphi_J + \chi_J}{2}, & \varrho_K &= 2 \frac{\varphi_K}{2}, \\ \mu_i &= \frac{\vartheta_i - \nu_i}{2} = 0, & \varrho_i &= \frac{\vartheta_i + \nu_i}{2} = \psi_i. \end{aligned} \right\} (602)$$

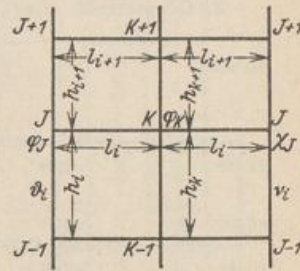


Abb. 330.

Symmetrischer Anteil:  $\varrho_J = 0, \mu_J = {}^{(1)}\varphi_J = -{}^{(1)}\chi_J \neq 0;$   
 $\varrho_K = {}^{(1)}\varphi_K = 0, \psi_i = {}^{(1)}\vartheta_i = {}^{(1)}\nu_i = 0.$

Die statischen Bedingungen für die äußeren Kräfte an der Kette  ${}^{(1)}\Gamma_J$  und den Bewegungszustand  $\dot{\mu}_J = 1$  mit  $\dot{\varphi}_J = 1, -\dot{\chi}_J = 1$  werden nach (597) auf S. 357 angeschrieben.

$${}^{(1)}a_{J(J-1)} = -2 \left( \frac{2}{h'_i} \right), \quad {}^{(1)}a_{JJ} = -2 \left( \frac{4}{l'_i} + \frac{4}{h'_i} + \frac{4}{h'_{i+1}} \right), \quad {}^{(1)}a_{J(J+1)} = -2 \left( \frac{2}{h'_{i+1}} \right),$$

$${}^{(1)}a_{J0} = -2 (M_{J0}^{(i)} + M_{J0}^{(i+1)}).$$

Antisymmetrischer Anteil:  $\mu_J = 0, \varrho_J = {}^{(2)}\varphi_J = {}^{(2)}\chi_J \neq 0;$   
 $\varrho_K = {}^{(2)}\varphi_K \neq 0, \psi_i = {}^{(2)}\vartheta_i = {}^{(2)}\nu_i \neq 0.$

Die statischen Bedingungen  ${}^{(2)}\delta A_J = 0, {}^{(2)}\delta A_K = 0, {}^{(2)}\delta A_i = 0$  für die äußeren Kräfte an den Stabketten  ${}^{(2)}\Gamma_J, {}^{(2)}\Gamma_K, {}^{(2)}\Gamma_i$  erhalten dieselbe Form wie die Gleichungen (599) bis (601) beim Stockwerkrahmen mit vier Pfosten. Dasselbe gilt bis auf die folgenden Angaben auch von deren Vorzeichen:

$${}^{(2)}a_{KK} = -2 \left( \frac{4}{l'_i} + \frac{2}{h'_k} + \frac{2}{h'_{k+1}} \right), \quad {}^{(2)}a_{Ki} = {}^{(2)}a_{(K-1)i} = 2 \left( \frac{3}{h'_k} \right), \quad a_{K(i+1)} = 2 \left( \frac{3}{h'_{k+1}} \right),$$

$${}^{(2)}a_{ii} = -2 \left( \frac{12}{h'_i} + \frac{6}{h'_k} \right), \quad {}^{(2)}a_{K0} = -2 M_{K0}^{(i)}, \quad {}^{(2)}a_{i0} = 2 (M_{i0}^{(i)} + h_i \sum_{j=1}^N W_K).$$

Der Ansatz für den symmetrischen Anteil ist wiederum dreigliedrig, der Ansatz für den antisymmetrischen Anteil wird nach S. 357 aufgelöst.

**Statische Untersuchung eines symmetrischen Stockwerkrahmens mit vier Pfosten** (Abb. 331); Binderabstand: 5,20 m.

1. Geometrische Grundlagen. Die Stablängen und die Trägheitsmomente der Querschnitte sind in Abb. 331 eingetragen.  $J_c = 38,2 \text{ dm}^4$ . Die auf drei Stellen abgerundeten reziproken Werte der reduzierten Stablängen gelten als fehlerfreie geometrische Grundlage der Untersuchung.

Index	1/red. Länge		Index	1/red. Länge	
	Riegel	Pfosten		Riegel	Pfosten
a	0,167	0,562	h	0,314	0,787
b	0,167	0,340	i	0,314	0,455
c	0,167	0,254	k	0,314	0,341
d	0,167	0,254	l	0,314	0,341
e	0,167	0,198	m	0,314	0,254
f	0,167	0,085	n	0,314	0,106
g	0,105	0,059	r	0,211	0,059

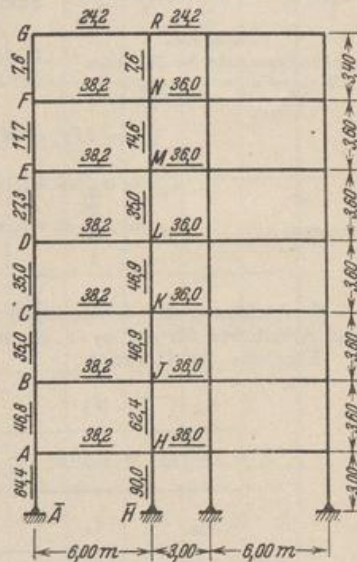


Abb. 331. Die unterstrichenen Zahlen bedeuten die Trägheitsmomente in  $\text{dm}^4$ .



A. Symmetrie der Belastung.

Lösung nach S. 357 mit  $\varphi_J = -\chi_J$ ,  $\varphi_K = -\chi_K$ ,  $\vartheta_i = 0$ ,  $\nu_i = 0$  (Abb. 329).

2. Geometrisch überzählige Größen des Ansatzes.

so daß 
$$\mu_J = \frac{1}{2}(\varphi_J - \chi_J), \quad \mu_K = \frac{1}{2}(\varphi_K - \chi_K),$$

$$\varphi_J = -\chi_J = \mu_J, \quad \varphi_K = -\chi_K = \mu_K.$$

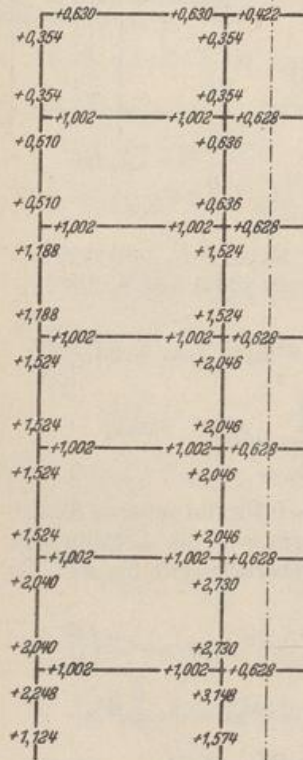


Abb. 332.  
Anschlußmomente des Zustandes  $\Sigma_1$  ( $\mu_A = \mu_B = \dots = \mu_R = 1$ ).

3. Matrix der statischen Bedingungen (597) u. (598). Entwicklung der Vorzahlen der Gleichungen:

$$a_{AA} = -2 \left( \frac{4}{h'_a} + \frac{4}{l'_a} + \frac{4}{h'_b} \right) = -8,552;$$

$$a_{AB} = -2 \left( \frac{2}{h'_b} \right) = -1,360; \quad a_{AH} = -2 \left( \frac{2}{l'_a} \right) = -0,668;$$

$$a_{AC} = -2 \left( \frac{2}{l'_c} \right) = -0,668; \quad a_{AJ} = -2 \left( \frac{2}{h'_k} \right) = -1,364;$$

$$a_{AK} = -2 \left( \frac{2}{h'_l} \right) = -1,364;$$

$$a_{KK} = -2 \left( \frac{2}{l'_k} + \frac{4}{h'_k} + \frac{4}{h'_i} + \frac{4}{l'_c} \right) = -8,048.$$

Ergebnis der vollständigen Rechnung auf S. 361.

4. Nachprüfung der Vorzahlen der Matrix. Die Summe der Vorzahlen einer Gleichung  $\delta A_J = 0$

$$a_{J\Sigma} = \sum_{K=A}^{K=R} a_{JK}$$

kann als virtuelle Arbeit der Anschlußmomente aus  $\mu_A = \mu_B = \dots = \mu_R = 1$  (Zustand  $\Sigma_1$ , vgl. Abb. 332) an der mit  $\mu_J = 1$  angetriebenen kinematischen Kette  $\Gamma_J$  nachgeprüft werden, z. B.

$$a_{L\Sigma} = -2 (M_L^{(i)} + M_L^{(d)} + M_L^{(l)} + M_L^{(m)}) = -10,400.$$

Die Summe  $a_{\Sigma\Sigma}$  aller Vorzahlen der Matrix kann ebenfalls als virtuelle Arbeit der Stabendmomente des Zustandes  $\Sigma_1$  an der mit  $\mu_A = \mu_B = \dots = \mu_R = 1$  angetriebenen kinematischen Kette geprüft werden. Sie ist demnach gleich der negativen Summe der Stabendmomente an den Knoten.

5. Belastungsglieder  $a_{J0}$  für senkrechte Belastung der Seitenfelder mit  $q = 2,08 \text{ t/m}$ . Der geometrisch bestimmte Anteil  $M_{J0}^{(g)}$  der Anschlußmomente ist bei allen belasteten Riegelstäben gleich.

$$-M_{A0}^{(g)} = M_{H0}^{(g)} = \frac{q \cdot l^2}{12} = \frac{2,08 \cdot 6,0^2}{12} = 6,24 \text{ mt},$$

$$a_{A0} = a_{B0} = a_{O0} = a_{D0} = a_{E0} = a_{F0} = +2 \cdot 6,24 = +12,48,$$

$$a_{H0} = a_{J0} = a_{K0} = a_{L0} = a_{M0} = a_{N0} = -2 \cdot 6,24 = -12,48,$$

$$a_{G0} = a_{R0} = 0.$$

6. Auflösung der Gleichungen durch Iteration nach Abschn. 30. Die Iteration stützt sich auf Annahmen für  $\mu_B, \mu_C, \dots, \mu_R$  in  $\delta A_A = 0$ , z. B.  $\mu_B = 0, \mu_C = 0, \dots, \mu_R = 0$ .  
Ergebnis der Iteration:

$\mu_A$	$\mu_B$	$\mu_C$	$\mu_D$	$\mu_E$	$\mu_F$	$\mu_G$
+ 1,2775	+ 1,5850	+ 1,8206	+ 1,8652	+ 2,8981	+ 5,8147	- 1,2650
$\mu_H$	$\mu_I$	$\mu_K$	$\mu_L$	$\mu_M$	$\mu_N$	$\mu_R$
- 0,8997	- 1,1331	- 1,2823	- 1,3424	- 2,0746	- 3,9995	+ 0,6842







	$Q_A$	$Q_B$	$Q_C$	$Q_D$	$Q_E$	$Q_F$	$Q_G$	$Q_H$	$Q_I$	$Q_K$	$Q_L$	$Q_M$	$Q_N$	$Q_R$	$Q_a$	$Q_b$	$Q_c$	$Q_d$	$Q_e$	$Q_f$	$Q_g$			
A	-8,552	-1,360						-0,668																
B	-1,360	-6,088	-1,016						-0,668															
C		-1,016	-5,400	-1,016																				
D			-1,016	-4,952	-0,792																			
E				-0,792	-3,600	-0,340																		
F					-0,340	-2,488	-0,236																	
G						-0,236	-1,312																	
H	-0,668							-15,040	-1,820															
J		-0,668							-1,820	-11,472	-1,364													
K			-0,668								-1,364	-10,560	-1,364											
L				-0,668									-1,364	-9,860										
M					-0,668																			
N						-0,668																		
R							-0,420																	
a	+6,744							+9,444																
b	+4,080	+4,080						+5,460	+5,460															
c		+3,048	+3,048							+4,092	+4,092													
d			+3,048	+3,048							+4,092	+4,092												
e				+2,376	+2,376																			
f					+1,020	+1,020																		
g						+0,708	+0,708																	

7. Superposition der Anteile der Stabendmomente aus Belastung und Formänderung nach (530)

$$\begin{aligned}
 M_{\sigma}^{(c)} &= 1/h'_c \cdot (4 \varphi_C + 2 \varphi_B) = 0,254 \cdot 10,4524 = +2,655 \text{ mt}, \\
 M_{\sigma}^{(c)} &= M_{\sigma 0}^{(c)} + 1/l'_c \cdot (4 \varphi_C + 2 \varphi_K) = -6,24 + 0,167 \cdot 4,7178 = -5,452 \text{ mt}, \\
 M_{\sigma}^{(d)} &= 1/h'_d \cdot (4 \varphi_D + 2 \varphi_D) = 0,254 \cdot 11,0128 = +2,797 \text{ mt}, \\
 M_{\sigma}^{(n)} &= 1/h'_n \cdot (4 \varphi_N + 2 \varphi_M) = 0,106 (-20,1472) = -2,136 \text{ mt}, \\
 M_{\sigma}^{(f)} &= M_{\sigma 0}^{(f)} + 1/l'_f \cdot (4 \varphi_N + 2 \varphi_F) = +6,24 + 0,167 (-4,3686) = +5,510 \text{ mt}, \\
 M_{\sigma}^{(n)} &= 1/l'_n \cdot 2 \varphi_N = 0,314 (-7,9990) = -2,512 \text{ mt}, \\
 M_{\sigma}^{(r)} &= 1/h'_r \cdot (4 \varphi_N + 2 \varphi_R) = 0,059 (-14,6296) = -0,863 \text{ mt}.
 \end{aligned}$$

Die Rechnung wird für alle Stabknoten durchgeführt und das Ergebnis in der linken Hälfte der Abb. 333 eingetragen. Der Betrag für  $p l^2/8 = 9,36 \text{ mt}$  und  $p l^2/12 = 6,24 \text{ mt}$  dient als Vergleich.



$Q_M$	$Q_N$	$Q_R$	$\psi_a$	$\psi_b$	$\psi_c$	$\psi_d$	$\psi_e$	$\psi_f$	$\psi_g$	$a_{J0}$	$\Sigma a_{JK}$
			+ 6,744	+ 4,080							+ 0,244
				+ 4,080	+ 3,048						- 2,004
					+ 3,048	+ 3,048					- 2,004
						+ 3,048	+ 2,376				- 2,004
-0,668							+ 2,376	+ 1,020			- 2,004
	-0,668							+ 1,020	+ 0,708		- 2,004
		-0,420							+ 0,708		- 1,260
			+ 9,444	+ 5,460							- 2,624
				+ 5,460	+ 4,092						- 5,772
					+ 4,092	+ 4,092					- 5,772
-1,364							+ 4,092	+ 3,048			- 5,772
	-1,016							+ 3,048	+ 1,272		- 5,772
-9,864									+ 1,272		- 5,772
	-7,984	-0,424							+ 1,272	+ 0,708	- 5,772
-1,016										+ 0,708	- 3,792
	-0,424	-6,424	-0,236								- 5,772
		-0,236	-3,844								- 3,792
			-32,376							+ 68,70	- 16,188
				-19,080						+ 70,56	0
					-14,280					+ 57,60	0
+ 4,092						-14,280				+ 44,64	0
+ 3,048							-10,848			+ 31,68	0
+ 3,048										+ 18,72	0
	+ 1,272	+ 1,272						-4,584			0
		+ 0,708	+ 0,708						-2,832	+ 5,78	0

Die Anschlußmomente, bei belasteten Stäben unter Berücksichtigung der äußeren Kräfte, führen durch die Momentengleichungen der Stäbe zu den Querkraften. Diese liefern die Längskräfte aus den Gleichgewichtsbedingungen an den Knoten. In Abb. 333 sind auf der rechten Seite die Längs- und Querkraften angegeben.

8. Nachprüfung der Rechnung nach S. 331. Die Summe der Stabendmomente ist an jedem Knotenpunkt Null, z. B. am Knotenpunkt  $N$

$$\Sigma M_N = -2,136 + 5,510 - 2,512 - 0,863 = -0,001 \approx 0.$$

B. Antimetrie der Belastung.

Lösung nach S. 358 mit  $\varphi_J = \chi_J$ ,  $\varphi_K = \chi_K$ ,  $\vartheta_i = v_i$  (Abb. 329).

2. Geometrisch überzählige Größen.

so daß

$$\begin{aligned} Q_J &= \frac{1}{2}(\varphi_J + \chi_J), & Q_K &= \frac{1}{2}(\varphi_K + \chi_K), & \psi_i &= \frac{1}{2}(\vartheta_i + v_i), \\ \varphi_J &= \chi_J = Q_J, & \varphi_K &= \chi_K = Q_K, & \vartheta_i &= v_i = \psi_i. \end{aligned}$$







kann als virtuelle Arbeit der Anschlußmomente aus  $Q_A = Q_B = \dots = Q_R = \psi_a = \psi_b = \dots = \psi_o = 1$  (Zustand  $\Sigma_2$ , vgl. Abb. 334) an der mit  $\dot{Q}_J = 1$  oder  $\dot{\psi}_b = 1$  angetriebenen kinematischen Kette  $\Gamma_J$  oder  $\Gamma_b$  nachgeprüft werden, z. B.

$$a_{L\Sigma} = -2 (M_L^{(\bar{l})} + M_L^{(d)} + M_L^{(\bar{l})} + M_L^{(\bar{m})}) = -5,772,$$

$$a_{a\Sigma} = +2 (M_A^{(\bar{a})} + M_A^{(\bar{a})} + M_H^{(\bar{h})} + M_H^{(\bar{h})}) = -16,188.$$

Die Zeilensummen  $a_{b\Sigma} \dots a_{o\Sigma}$  sind Null, da der Zustand  $\Sigma_2$  Pfostenendmomente nur an den Pfosten  $\bar{a}$  und  $\bar{b}$  erzeugt. Die Summe  $a_{\Sigma\Sigma}$  aller Vorzeichen der Matrix besteht daher auch nur aus der negativen Summe der Riegelanschlußmomente und der positiven Summe der Pfostenendmomente bei  $\bar{a}$  und  $\bar{b}$ .

$$a_{\Sigma\Sigma} = 62,500 = -2 (-25,854) - 2 (-5,396) = 62,500.$$

5. Belastungsglieder bei Eintragung einer waagerechten Belastung aus Wind  $w = 1 \text{ t/m}$  in den Randknoten.

Knotenlasten in t:

$W_A$	$W_B$	$W_C$	$W_D$	$W_E$	$W_F$	$W_G$
3,3	3,6	3,6	3,6	3,6	3,5	1,7

$$a_{A0} = a_{B0} = \dots = a_{R0} = 0.$$

$$a_{a0} = \dot{i}_a \cdot h_a \sum_A W_E = 3,0 \cdot 22,9 = 68,70; \quad a_{b0} = \dot{i}_b \cdot h_b \sum_B W_K = 3,6 \cdot 19,6 = 70,56.$$

$$a_{c0} = 57,60; \quad a_{d0} = 44,64; \quad a_{e0} = 31,68; \quad a_{f0} = 18,72.$$

$$a_{g0} = \dot{i}_g \cdot h_g W_G = 3,4 \cdot 1,7 = 5,78 \text{ (Abb. 335)}.$$



Abb. 335. Kinematische Kette  $\Gamma_a$ .

6. Auflösung der Gleichungen. Nach der Anweisung auf S. 357 können zunächst die unbekannt Stabdrehwinkel  $\psi$  aus den Gleichungen  $\delta A_J = 0$  eliminiert werden, so daß 14 Gleichungen mit 14 Unbekannten entstehen. Diese werden durch Iteration gelöst. Die Anfangswerte ergeben sich durch Auflösung der voneinander unabhängigen dreigliedrigen Ansätze, die bei Vernachlässigung der äußeren Glieder erhalten werden.

Die Iteration kann sich aber auch auf eine erste Näherungslösung des vollständigen Ansatzes mit 21 Gleichungen stützen, um die langwierige Elimination zu umgehen. Dabei wird mit Vorteil das Ergebnis der angenäherten Berechnung der  $\psi_i$  nach Abschn. 51 verwendet.

Ergebnis der Iteration:

$Q_A$	$Q_B$	$Q_C$	$Q_D$	$Q_E$	$Q_F$	$Q_G$
7,810	9,482	8,015	6,191	4,669	2,706	1,238
$Q_H$	$Q_J$	$Q_K$	$Q_L$	$Q_M$	$Q_N$	$Q_R$
6,408	7,215	6,011	4,544	2,878	1,253	0,423
$\psi_a$	$\psi_b$	$\psi_c$	$\psi_d$	$\psi_e$	$\psi_f$	$\psi_g$
5,618	11,294	11,558	9,183	7,385	6,871	3,446

7. Superposition der Anteile der Stabendmomente aus Belastung und Formänderung nach (530):

$$M_O^{(\bar{o})} = 1/h'_c \cdot (4 \varphi_O + 2 \varphi_B - 6 \psi_c) = -4,654 \text{ mt},$$

$$M_O^{(o)} = 1/l'_c \cdot (4 \varphi_O + 2 \varphi_X) = +7,362 \text{ mt},$$

$$M_C^{(\bar{c})} = 1/h'_d \cdot (4 \varphi_C + 2 \varphi_D - 6 \psi_d) = -2,707 \text{ mt},$$

$$M_N^{(\bar{n})} = 1/h'_n \cdot (4 \varphi_N + 2 \varphi_M - 6 \psi_f) = -3,229 \text{ mt},$$

$$M_N^{(n)} = 1/l'_f \cdot (4 \varphi_N + 2 \varphi_F) = +1,741 \text{ mt},$$

$$M_n^{(\bar{n})} = 1/l'_n \cdot (4 \varphi_N + 2 \varphi_N) = +2,361 \text{ mt},$$

$$M_n^{(n)} = 1/h'_r \cdot (4 \varphi_N + 2 \varphi_R - 6 \psi_g) = -0,874 \text{ mt}.$$



Bei einer Windbelastung von  $0,125 \text{ t/m}^2$  und einem Binderabstand von  $5,2 \text{ m}$  ist  $w = 5,2 \cdot 0,125 = 0,65 \text{ t/m}$ . Dabei entstehen die Stabmomente der Abb. 336. Diese bestimmen die für jeden Pfosten oder Riegel konstanten Querkräfte, aus denen dann die Längskräfte in Verbindung mit den Lasten  $W_K$  durch die Bedingungen für das Gleichgewicht am Stabknoten (522) berechnet werden. Die Längskräfte der Riegel im Mittelfeld sind infolge Antimetrie der Belastung Null.

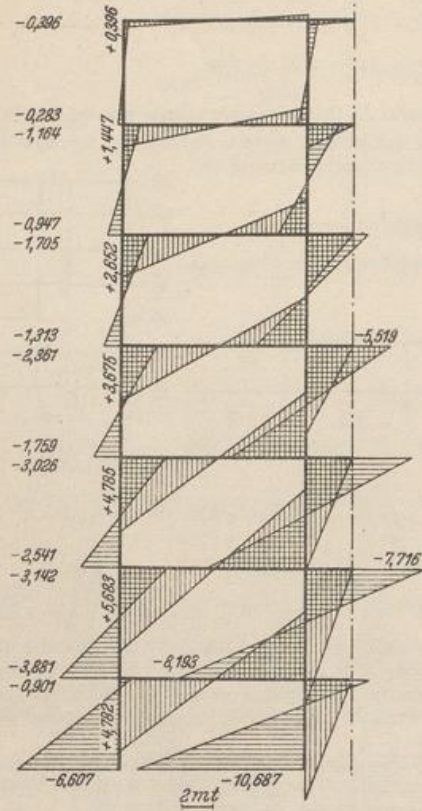


Abb. 336.

8. Nachprüfung der Rechnung. Die Richtigkeit der Ergebnisse ist bewiesen, wenn die Bedingungen  $\delta A_J = 0$  und  $\delta A_c = 0$  durch die Stabmomente erfüllt sind.

$$\delta A_N = -2,098 + 1,132 + 1,535 - 0,568 = -0,001 \approx 0,$$

$$\begin{aligned} \delta A_b &= 1_b \cdot 2 (M_A^{(b)} + M_B^{(b)} + M_H^{(b)} + M_J^{(b)}) \\ &\quad + 1_b h_b \sum_B W_k, \text{ (Abb. 337)} \\ &= 2(-3,881 - 3,142 - 8,193 - 7,716) \\ &\quad + 3,6 \cdot 0,65 \cdot 19,6 \\ &= -45,864 + 45,864 = 0. \end{aligned}$$

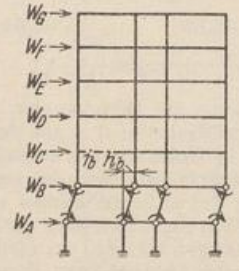


Abb. 337.

### 43. Die Berechnung der Anschlußkräfte aus den Drehwinkeln $\tau$ der Endtangente.

Der Verschiebungszustand eines Stabwerks mit  $r$  freien Knoten und  $t$  abgestützten Stabenden kann nach S. 306 auch durch die Verdrehung  $\tau_J^{(h)}$  der Endtangente der Stäbe ( $h$ ) am Knoten  $J$  relativ zu dem verformten Stabnetz  $J'K'$  beschrieben werden (Abb. 285). Die unbekannten Winkel  $\tau_J^{(h)}$  treten im Ansatz an die Stelle der Knotendrehwinkel  $\varphi_J$ , so daß darin  $f = f_1 + s_2$  (vgl. S. 313) unabhängige Komponenten  $\psi_c$  und  $2s$  Drehwinkel  $\tau_J^{(h)}$ , zusammen also  $2s + f$  unbekannte Komponenten auftreten. Sie sind an den  $r$  Stabknoten durch  $(2s - r - t)$  Kontinuitätsbedingungen

$$\tau_J^{(h)} + \vartheta_h = \tau_J^{(h+1)} + \vartheta_{h+1}, \tag{603}$$

an den abgestützten Stabenden durch  $t$  geometrische oder statische Randbedingungen  $\varphi_A = 0$  oder  $M_A = 0$  verknüpft und müssen  $r + f$  Gleichgewichtsbedingungen  $\delta A_J = 0$ ,  $\delta A_c = 0$  erfüllen, welche für die Komponenten  $\varphi_J, \psi_c$  gelten. Zur Berechnung der  $2s + f$  unbekanntenen Komponenten stehen ebenso viele Gleichungen zur Verfügung. Die Lösung ist eindeutig (Abb. 338). Dasselbe gilt auch für Stabwerke, deren Elemente ( $g$ ) durch reibungslose Gelenke mit den Stabknoten  $G$  verbunden sind. An die Stelle der Kontinuitätsbedingungen (603) treten hier statische Bedingungen  $M_G^{(g)} = 0$ . Die